

ارزیابی ضریب نفوذپذیری گاز (هوای) و مایع در چوب تبریزی پوشش داده شده با رنگ‌های نیم پلی‌استر، سیلر و کیلر و نانوذرات

هادی غلامیان^{*}، اصغر طارمیان^۱، محمد آزادفلاح^۲

^۱دانشجوی کارشناسی ارشد، دانشکده منابع طبیعی، دانشگاه تهران، ایران

^۲استادیار دانشکده منابع طبیعی، دانشگاه تهران، ایران

(تاریخ دریافت: ۰۸/۱۰/۱۰، تاریخ تصویب: ۰۹/۰۴/۱۴)

چکیده

در این تحقیق تاثیر پرداخت و رنگ‌کاری چوب با رنگ‌های نیم پلی‌استر و سیلر و کیلر و نانوذرات زایکوسیل^۱ و زایکوفیل^۲ بر فرایند انتقال سیال در چوب بررسی شد. دو نوع فرایند انتقال سیال در چوب مورد ارزیابی قرار گرفت: ضریب نفوذپذیری گازی و ضریب نفوذپذیری مایعی تعیین شده با آزمون رایلم^۳. برای این منظور، تخته‌های تهیه شده از برون چوب تبریزی (*P.nigra*) بر پایه برنامه چوب خشک‌کنی با کد T₇E_۲ خشک شدند. سپس، نمونه‌های استوانه‌ای شکل در جهت طولی با قطر ۲۵ mm و طول ۴۰ mm تهیه و برای محدود کردن عبور سیال از جهت طولی، سطوح جانبی آنها با رزین اپوکسی اندود شد. سپس، یکی از مقاطع عرضی نمونه‌ها با رنگ و نانوذرات یاد شده پوشش داده شد. شماری از نمونه‌ها در شرایط آزمایشگاهی و شماری دیگر در درون آون در دمای $210 \pm 3^{\circ}\text{C}$ خشک شدند. پس از خشک‌کردن، برای یکسان‌سازی رطوبت، نمونه‌ها در اتاق با شرایط ثابت (کلیما) قرار داده شدند و سپس ضریب نفوذپذیری گازی و ضریب نفوذپذیری مایعی نمونه‌ها برابر با آزمون رایلم اندازه‌گیری شد. ضریب همبستگی خوبی بین نتایج به دست آمده در هر دو روش یاد شده دیده شد. نتایج نشان داد که کمترین ضریب نفوذپذیری گازی و ضریب نفوذپذیری مایعی مربوط به نمونه‌های پوشش داده شده با رنگ‌سیلر و کیلر بود. در بین نانوذرات، نانوزایکوسیل در مقایسه با نانوزایکوفیل عملکرد بهتری در کاهش ضریب نفوذپذیری چوب داشت.

واژه‌های کلیدی: ضریب نفوذپذیری، نیم پلی‌استر، سیلر و کیلر، نانوذرات، چوب

انتشار بخار آب در آن است. ضریب جذب آب پوشش‌های رنگی ممکن است تحت تاثیر عواملی مانند اندازه دانه‌بندی، تراکم و دانسیته، پراکنش آنها قرار گیرد (Buslaev et al., 1934). بر پایه استاندارد ASTM E ۵۱۴ ضریب نفوذپذیری مواد متخلخل مانند چوب را می‌توان با سه روش اندازه‌گیری کرد، یکی از این سه روش، کاربرد فشارکم یا همان آزمون رایلمن است، که میزان آب نفوذ کرده را بر حسب میزان نفوذ در واحد زمان (ml/s) محاسبه می‌کند (Monk, 1961). محققان دانشگاه Wyoming به این نتایج رسیدند که میزان ضریب نفوذپذیری اندازه‌گیری شده با آزمون رایلمن در مواد با درصد تخلخل مختلف، متفاوت است (Roller, 1994). روشی که میزان ضریب نفوذپذیری اندازه‌گیری شده با آزمون رایلمن در مواد با درصد تخلخل مختلف، متفاوت است (Roller, 1994). یکی از فناوری‌های نوین که وارد عرصه علم شده است فناوری نانو و پوشش‌های پلیمری است. فناوری نانو یکی از پیچیده‌ترین علوم می‌باشد، زیرا که اندازه ذرات در این مواد در مقیاس زیر ۱۰۰ نانومتر بوده و با توجه به اندازه خیلی ریز آنها کارایی آنها بسیار افزایش یافته است. فناوری نانو در صنعت چوب کاردهای گوناگون و منحصر بفردی را ایجاد می‌نماید. در اثر استفاده از نانوذرات، سطح ویژه (تماس) افزایش پیدا کرده و ویژگی‌هایی مانند مقاومت‌های فیزیکی و مکانیکی بهبود می‌یابد (Brinker et al., 1990), (Celiker, 2005)، (Klemperer & Brinker, 1992)، (Shaw et al., 1992)، (Kaygin & Akgun, 2008)، (Michael & Lowry, 2008)، (Akgun, 2009). نانو پوشش‌ها این قابلیت را دارند که، ویژگی‌های ضد رطوبتی، ضد سایش و ضد گرمایی ایجاد کنند (Kaygin & Akgun, 2008). این نتیجه رسیدند که با نفوذدادن نانو ذره Zno به درون پوشش‌های رنگی می‌توان از تخریب این پوشش‌ها در برابر عوامل محیطی جلوگیری نمود. در این تحقیق، تاثیر پوشش‌دهی و رنگ‌کاری چوب با رنگ‌های پوششی سیلروکیلر، نیمپلی استربراک و نانوذرات زایکوسیل و زایکوفیل بر ضریب نفوذپذیری گازی و ضریب نفوذپذیری مایعی (آزمون رایلمن) مورد ارزیابی قرار گرفت.

مقدمه

با پیشرفت فناوری، کاربردهای چوب در صنایع مختلف افزایش یافته است و با توجه به نیاز هر صنعت، می‌توان از ویژگی‌های منحصر به فرد چوب بیشتر استفاده کرد. در محیط بیرون از ساختمان و در هوای آزاد، چوب رطوبت محیط را جذب نموده و واکشیده می‌شود، که می‌تواند باعث کاهش مقاومت‌های فیزیکی و مکانیکی و همچنین کاهش مقاومت در برابر عوامل ویرانگر بیولوژیکی شود. برای حفاظت چوب در برابر عوامل جوی و جذب آب، از تیمارها و روش‌های مختلفی می‌توان استفاده کرد. یکی از موثرترین و پرکاربردترین روش‌ها، استفاده از پوشش‌های رنگی شفاف است. به طور کلی پوشش‌های رنگی شفاف با دو هدف عمده بر روی چوب اعمال می‌شوند: افزایش زیبایی و درخشندگی چوب و افزایش عمر مفید چوب در شرایط خدمات و حفاظت آن در برابر عوامل جوی. ویژگی‌های کاربردی رنگ باید با توجه به نیاز بازار استانداردسازی شود (EN1504). فرایند انتقال سیال در چوب تحت تاثیر عوامل زیادی مانند الگوی برش، ویژگی‌های آناتومی، میزان رطوبت، نوع رنگ و چگونگی پوشش‌دهی اعمال شده بر روی آن قرار دارد (Eldwson et al., 2006). همچنین، با استفاده از اندازه‌گیری ضریب نفوذپذیری گازی می‌توان ترکیبات رنگ و اجزاء آن را بررسی نمود (Nelson et al., 1988). یکی از پوشش‌های رایج در صنعت چوب، پوشش‌های لakkی هستند که از آغاز سده ۱۶ در کشورهای پر شماری از آن استفاده شده است (Hicks, 1961). نتایج مطالعات (Robert & Philip, 1991) نشان داد که ضریب نفوذپذیری گازی و انتشار بخار آب پوشش‌های لakkی با توجه به نوع پوشش و حلal آنها متفاوت می‌باشد و اجزاء تشکیل دهنده لakkها بر روی ضریب نفوذپذیری آنها تاثیر گذار هستند و بیشترین ضریب نفوذپذیری مربوط به پوششی است که در آن از حلal آبی استفاده شده باشد (Robert et al., 1991). نتایج مطالعات (Buslaev et al., 2008) نشان داد که ضریب جذب آب پوشش‌های ارگانوسیلیکاتی^۱ بیشتر از ضریب

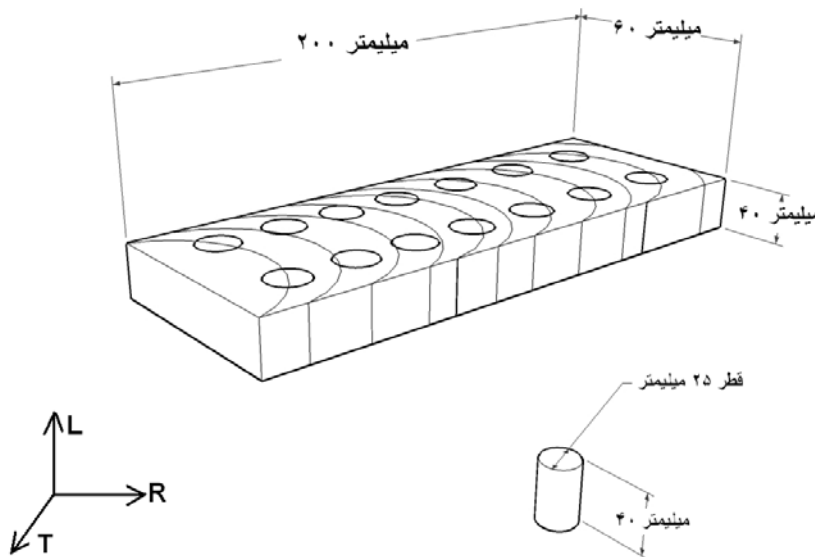
۱- Organo Silicone

از هر یک از تخته‌های خشک شده، توسط مته‌گردبر، نمونه‌های استوانه‌ای شکل به قطر ۲۵ و طول ۴۰ میلی‌متر در جهت طولی تهیه شد، همچنین میزان تکرار برای هر تیمار سه نمونه لحاظ شد. روش تهیه نمونه‌ها و الگوی برش آنها در شکل ۱ نشان داده شده است.

مواد و روش‌ها

نمونه برداری

از الوارهای تبریزی (*P.nigra*) به ابعاد ۵۰×۲۰۰×۱۵۰۰ (L×T×R) میلی‌متر و خشک شده برابر برنامه چوب خشک کنی کد TE_۳ سه قطعه تخته به ابعاد ۲۰۰×۶۰×۴۰ میلی‌متر (R×T×L) برش داده و در نهایت



شکل ۱- روش برش نمونه‌ها برای اندازه‌گیری ضریب نفوذپذیری طولی

پوشش‌دهی نمونه‌ها

برای پوشش‌دهی، در آغاز سطوح نمونه‌چوبی را تمیز کرده سپس، رنگ سیلوروکیلر مخلوط شده با حلال تینری (۱۰۰۰۰ فوری) با استفاده از قلممو، بر روی سطوح چوبی اعمال شد. زمان مورد نیاز برای خشکشدن رنگ در شرایط آزمایشگاهی، ۱۵ الی ۲۰ دقیقه است، ولی در این تحقیق برای تثبیت بهتر رنگ بر روی سطوح نمونه چوبی، نمونه‌های رنگ شده به مدت ۲۴ ساعت در شرایط یاد شده نگهداری شدند. برای پوشش‌دهی سطوح چوبی با رنگ نیم‌پلی استربراک، پوشش رنگ یاد شده با حلال تینری (۱۰۰۰۰ فوری) رقیق شد. سپس ۵۰ درصد کاتالیزر (هاردنر، خشک‌کننده) به منظور خشکشدن سریع‌تر به رنگ اضافه شد. سپس، رنگ با استفاده از قلممو بر روی سطوح پوشش داده شد. زمان خشکشدن رنگ در محیط آزمایشگاهی ۱۵ الی ۲۰ دقیقه به طول انجامید.

پوشش‌های رنگی و نانوذرات مورد استفاده

در این پژوهش از رنگ‌های سیلوروکیلر و نیم‌پلی استربراک بر پایه رزین آلکید و نیترات‌سلولز، ساخت صنایع رنگ و رزین دُرسا شیمی (بریلان)، و همچنین از نانو زایکوسیل و نانو زایکوفیل که دارای ترکیبات آلی سیلیکون (Si) و ساخت شرکت زیدکس است استفاده شد. ویژگی‌های کاربردی نانوذرات مورد استفاده در جدول یک ارائه شده است.

جدول ۱- ویژگی‌های نانوذرات مورد مصرف

اندازه ذرات	۴-۶ نانومتر
عمق نفوذ	۳-۵ میلی‌متری یا بیشتر
رنگ	زرد کم رنگ
چگالی	۱/۷۰ (۲۵ درجه سلسیوس)
آستانه آتش‌گیری	بالاتر از ۱۰۰ درجه سلسیوس
نوع حلال	آب

ارزیابی ضریب نفوذپذیری گاز (هوای) و مایع در ...

در شرایط آزمایشگاهی (دماهی $23 \pm 2^{\circ}\text{C}$) و گروه دوم در درون آون ($103 \pm 2^{\circ}\text{C}$) به مدت ۲۴ ساعت. ترکیب تیمارهای مورد استفاده و کدگذاری آنها در جدول ۲ نشان داده شده است.

پس از تمیز نمودن سطح نمونه‌ها، نانوذرات زایکوسویل و زایکوفیل را با استفاده از قلم مو بر روی سطوح چوب پوشش داده شدند و در مدت ۲۴ ساعت در دو شرایط متفاوت خشک شدند. نمونه‌ها در دو روش خشک شدند: گروه اول

جدول ۲- ترکیب تیمارهای مورد استفاده و کدگذاری آنها

نوع تیمار	کد تیمار
نمونه شاهد	
نمونه انود شده با رنگ نیم پلی استریاق و خشک شده در شرایط آزمایشگاه	CPS
نمونه انود شده با رنگ سیلروکیلر و خشک شده در شرایط آزمایشگاه	CSC
نمونه انود شده با نانو زایکوسویل با غلظت ۱۰۰٪ و خشک شده در آون	CZ
نمونه انود شده با نانو زایکوفیل با غلظت ۱۰۰٪ و خشک شده در آون	CZF
نمونه انود شده با نانو زایکوسویل با غلظت ۱۰۰٪ و خشک شده در آزمایشگاه	CZ100٪
نمونه انود شده با نانو زایکوفیل با غلظت ۱۰۰٪ و خشک شده در آزمایشگاه	CZF100٪

نصب شده‌اند و ظیفه آنها نگهداری و جابجایی ستون آبی است که در لوله شیشه‌ای که در حد فاصل مخازن قرار دارد، می‌باشد. این دستگاه همچنین مجهز به دستگاه ثبت الکترونی زمان است و دارای دو حسگر ثبت زمان در فاصله (۱۰ cm) از یکدیگر می‌باشد و با دقیق هزارم ثانیه زمان جابه‌جایی ستون آب را اندازه‌گیری می‌کند. اندازه‌گیری نفوذپذیری گازی به روش ستون آب (ستون در حال سقوط آب) با استفاده از فرمول (Siau, 1984) برای به دست آوردن ضریب نفوذپذیری ظاهری (Kg) انجام می‌شود. جزئیات بیشتر مربوط به روش اندازه‌گیری و محاسبه‌های Gholamiyan & Tarmian, 2009 و Parhizgari et al., 2009 از معادله زیر (Siau, 1984) برای اندازه‌گیری ضریب نفوذ پذیری ظاهری نمونه‌ها استفاده شد.

متداول‌سازی نمونه‌ها

پیش از اندازه‌گیری ضریب نفوذپذیری، برای متداول‌سازی رطوبت، نمونه‌ها به مدت ۱۴ روز در اتاق کلیما در دماه 20°C و رطوبت نسبی (RH) ۶۴ درصد قرار داده شدند تا به رطوبت تعادل ۱۲ درصد برسند.

اندازه‌گیری ضریب نفوذپذیری گازی

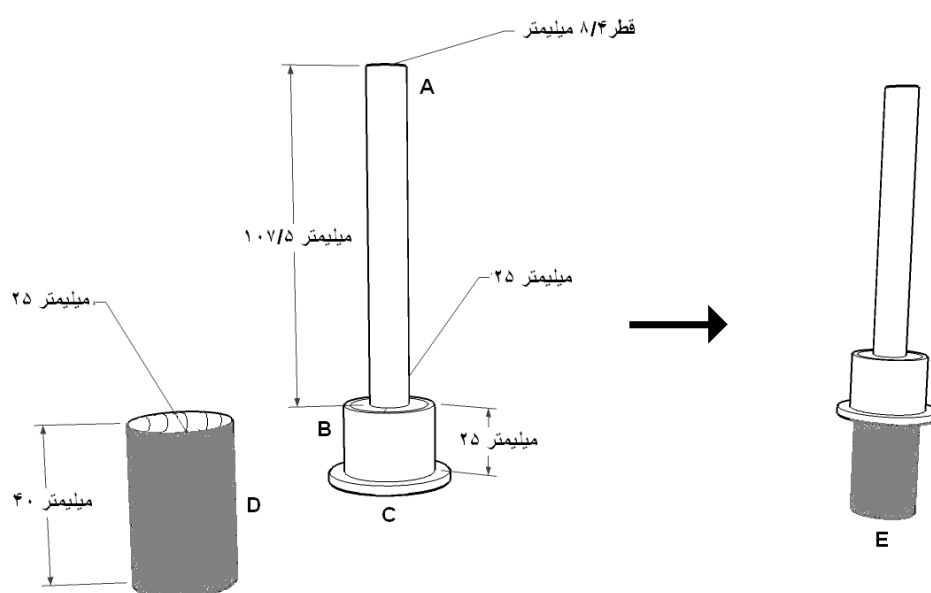
به منظور اندازه‌گیری ضریب نفوذپذیری گازی، سطوح جانبی نمونه‌های استوانه‌ای شکل با رزین اپوکسی انود شد تا جریان گاز تنها در راستای طولی رخ دهد. ضریب نفوذپذیری طولی با استفاده از دستگاه اندازه‌گیری ضریب نفوذپذیری گازی به روش حجم آب جابه‌جا شده از آب در حال سقوط اندازه‌گیری شد (Taghiyari, 2008). این دستگاه از دو مخزن که در قسمت‌های بالا و پایین دستگاه

$$k_g = \frac{V_d C L (P_{atm} - 0.074 \bar{z})}{tA(0.074 \bar{z})(P_{atm} - 0.037 \bar{z})} \times \frac{0.760 \text{ m Hg}}{1.013 \times 10^6 \text{ Pa}} , \quad C = 1 + \frac{V_f (0.074 \Delta z)}{V_d (P_{atm} - 0.074 \bar{z})}$$

رابطه ۱- فرمول محاسبه ضریب نفوذپذیری

آمده از آزمون رایلم می‌تواند شاخص مناسبی برای تعیین میزان نفوذ آب در چوب در معرض بارندگی همراه با وزش باد شدید و طوفان باشد (جدول ۳). پس از نصب نمونه چوبی بر روی دستگاه و پرکردن لوله رایلم با مایع (آب)، میزان نفوذ آب در واحد زمان (ml/s) در جهت طولی اندازه‌گیری شد.

اندازه‌گیری ضریب نفوذپذیری مایعی (آزمون رایلم)
پس از اندازه‌گیری ضریب نفوذپذیری گازی، نمونه‌های استوانه‌ای شکل درون دستگاه رایلم قرار گرفتند و میزان نفوذپذیری مایعی (آب) طی مدت ۶۰ دقیقه، برابر با استاندارد ASTM E ۵۱۴ بررسی شد. روش آماده‌سازی دستگاه رایلم و چگونگی نصب نمونه بر روی آن و روش اندازه‌گیری در شکل ۲ نشان داده شده است. نتایج به دست



شکل ۲- روش آماده‌سازی دستگاه رایلم و نصب نمونه چوبی بر روی آن

۷۵/۲	۲/۵
۷۱/۱	۳
۶۵/۵	۳/۵
۵۹/۴	۴
۵۲/۸	۴/۵
۴۴/۸	۵

نوع طرح آماری

طرح آماری مورد استفاده، طرح کاملاً تصادفی (CRD) بود. نتایج با نرم‌افزار آماری SPSS مورد تجزیه و تحلیل قرار گرفت و مقایسه میانگین داده‌ها با آزمون دانکن انجام شد.

{A: لوله شیشه‌ای با قطر درونی ۸/۴ mm و ارتفاع ۱۰۷/۵ mm، B: لوله شیشه‌ای با قطر درونی ۲۵ mm و ارتفاع ۲۵ mm، C: پایه نگه دارنده، D: نمونه چوبی تهیه شده در جهت طولی، E: نمونه چوبی نصب شده بر روی دستگاه رایلم}.

جدول ۳- همبستگی میان نتایج آزمون رایلم با میزان جذب آب همراه با طوفان

سرعت طوفان (mph)	میزان نفوذ مایع (ml)
۹۸/۱	۰
۹۴/۱	۰/۵
۹۰/۰۴	۱
۸۵/۷	۱/۵
۸۱/۱	۲

ضریب نفوذپذیری مایعی (آزمون رایلم)

میزان نفوذپذیری مایع برای هر یک از تیمارها متفاوت است. همان‌طور که در جدول ۵ نشان داده شده است بیشترین مقاومت به نفوذپذیری مایعی در چوب به ترتیب CZF_{100%}, CZ, CZ_{100%}, CSC, CZF, CPS، CZF، CPS، نمونه‌شاهد دیده شد و اختلاف معناداری در سطح اعتماد ۹۹ درصد بین همه تیمارها با نمونه شاهد وجود داشت. در آزمون رایلم میانگین میزان نفوذ آب در نمونه‌های تیمارشده (CSC, CZ, CZ_{100%}, CZF, CPS، CZF_{100%}, CZF، CPS، CZF_{100%}, CZ_{100%}, CZF_{100%}, CZF، CZ، CSC)، نمونه شاهد دیده شد و اختلاف معناداری در سطح اعتماد ۹۵ درصد بین تیمارهای با نمونه شاهد وجود داشت. در آزمون رایلم میانگین ضریب نفوذپذیری گاز (هوای) و مایع در سطح اعتماد ۹۴ درصد بین تیمارهای با نمونه شاهد وجود داشت برابر جدول ۴، همچنین ضریب نفوذپذیری گاز (هوای) در آزمون رایلم میانگین ضریب نفوذپذیری گاز (هوای) و مایع در سطح اعتماد ۹۳ درصد بین تیمارهای با نمونه شاهد وجود داشت برابر با (m⁻¹)_{۱۰}^{-۴} بود. میزان نفوذ آب در نمونه شاهد برابر با (ml/s)_{۱۰}^{-۴} بود. به عبارت دیگر، میزان نفوذ آب در واحد میلی‌لیتر در ثانیه در نمونه‌های تیمارشده به طور میانگین ۱/۴ تا ۷۵ برابر کمتر از میزان نفوذ آب در نمونه‌های شاهد بود. همچنین تحقیقات (Gholamiyan et al., 2009) نشان داد که میزان جذب آب (غوطه‌وری در آب مقطر در زمان‌های متفاوت) در نمونه‌های پوشش‌داده شده با رنگ‌های شفاف و نانوذات با نمونه شاهد دارای اختلاف معناداری می‌باشد و بیشترین مقاومت به جذب آب در پوشش‌های نانویی و رنگی مربوط به نانوذرات زایکوسیل و رنگ سیلروکیلر است، در این پژوهش هم، بیشترین مقاومت به نفوذپذیری مایعی در همین پوشش‌ها دیده شد. در پوشش‌دهی با نانوذرات به علت واکنش بیشتر نانوذرات با گروه‌های هیدروکسیلی (OH) و کاهش گروه‌های هیدروکسیلی آزاد در سطح چوب، میزان جذب آب کاهش می‌یابد.

بحث و نتیجه‌گیری

ضریب نفوذپذیری گازی (هوای)

در جدول ۴ میانگین ضریب نفوذپذیری ویرژه‌گاز در هر یک از تیمارها ارایه شده است. میزان ضریب نفوذپذیری گاز برای هر یک از تیمارها متفاوت بود. همان‌طور که در جدول ۴ نشان داده شده است بیشترین ضریب نفوذپذیری (هوای) به ترتیب در تیمارهای CZ, CSC، CZ_{100%}, CZF، CZF_{100%}, CZF، CZ، CSC، نمونه شاهد دیده شد و اختلاف معناداری در سطح اعتماد ۹۵ درصد بین تیمارهای با نمونه شاهد وجود داشت برابر جدول ۴، همچنین ضریب نفوذپذیری گاز (هوای) در آزمون رایلم میانگین ضریب نفوذپذیری گاز (هوای) و مایع در سطح اعتماد ۹۳ درصد بین تیمارهای با نمونه شاهد وجود داشت برابر با (m⁻¹)_{۱۰}^{-۴} بود. میانگین ضریب نفوذپذیری گاز (هوای) و مایع در سطح اعتماد ۹۴ درصد بین تیمارهای با نمونه شاهد وجود داشت برابر جدول ۴، همچنین ضریب نفوذپذیری گاز (هوای) در آزمون رایلم میانگین ضریب نفوذپذیری گاز (هوای) و مایع در سطح اعتماد ۹۳ درصد بین تیمارهای با نمونه شاهد وجود داشت برابر با (m⁻¹)_{۱۰}^{-۴} بود. در میان رنگ‌ها، رنگ سیلروکیلر به دلیل نمونه شاهد بود. همچنین به علت روش پوشش‌دهی دو مرحله‌ای (سیلرزنی و کیلرزنی) ضریب نفوذپذیری کمتری داشت. (Keshani, 2006) به نتایج همانندی دست یافتند. نتایج همچنین نشان داد که تیمار نمونه‌های چوبی با نانوذرات زایکوسیل و زایکوفیل منجر به کاهش ضریب نفوذپذیری آنها می‌شود. نفوذپذیری گازی نمونه تیمارشده با نانو زایکوسیل نسبت به نمونه تیمارشده با نانو زایکوفیل کمتر بود. بسته شدن لوله‌های مویین نانومتری در ساختمان چوب (مانند روزنه‌های بین دیواره سلول‌ها) با نانوذرات یاد شده و در نتیجه، کاهش جریان لغزشی ممکن است یکی از دلایل کاهش ضریب نفوذپذیری نمونه‌های پوشش‌داده شده با نانوذرات باشد. (Gholamiyan & Tarmian, 2009 و Buslaev et al., 2008) به نتایج همانندی با استفاده از نانوذرات دیگر دست یافتند.

جدول ۴ - میانگین ضریب نفوذپذیری ویژه نمونه‌های تیمارشده در مقایسه با نمونه شاهد

گروه‌بندی دانکن	F	انحراف معیار	نفوذپذیری ویژه آزمونه ($\mu\text{m}^3/\mu\text{m}$) (10^{-14})	میانگین زمان‌های ثبت شده (S)	سطح مقطع آزمونه (10^{-4}) (m^2)	ضخامت آزمونه (m)	وزن پوشش پایه (g/m ²)	شماره نمونه
a	۶/۸۴*	۰/۰۰۳	۰/۰۲۱	۸۰۵/۷۷	۴/۹	۰/۰۴	۱۶۳/۲	CSC
b	۴/۲۲*	۵/۱۱	۱۲/۹	۱/۳۴	۴/۹	۰/۰۴	۶۹۳/۲	CPS
ab	۵/۴۹*	۲/۵۷	۵/۷۷	۳/۰۱	۴/۹	۰/۰۴	۲۰۴	CZ
ab	۶/۶۳*	۰/۴۰	۶/۸۴	۲/۵۴	۴/۹	۰/۰۴	۲۰۴	CZ ۱۰۰٪
c	۶/۱۷*	۱/۳۸	۲۴/۷	۰/۷۰۳	۴/۹	۰/۰۴	۱۸۳/۶	CZF
b	۵/۷۶*	۲/۱	۱۹/۱	۰/۹۱	۴/۹	۰/۰۴	۱۸۳/۶	CZF ۱۰۰٪
	-----	-----	۶۱/۳۱	۰/۲۸	۴/۹	۰/۰۴	-----	نمونه شاهد

* معنی داری در سطح اعتماد ۹۵ درصد.

جدول ۵ - میانگین ضریب نفوذپذیری مایع (آزمون رایلم) در زمان‌های متفاوت

گروه‌بندی دانکن	انحراف معیار	سرعت طوفان (mph)	F	میانگین میزان نفوذ مایع در واحد زمان (ml/s)					سطح مقطع آزمونه (10^{-4}) (m^2)	ضخامت آزمونه (m)	وزن پوشش پایه (g/m ²)	شماره نمونه
				۳۶۰۰	۱۸۰۰	۹۰۰	۶۰۰	۳۰۰				
cd	۰/۰۲۵	۹۲/۲	۶/۳۷**	۰/۱۱	۰/۰۷۸	۰/۰۶۸	۰/۰۵۸	۰/۰۵	۴/۹	۰/۰۴	۱۶۳/۲	CSC
	۰/۶۳	۹۰/۰۴	۰/۶۸۱**	۳/۹	۳/۶۳	۳/۲۳	۲/۹۶	۲/۲۶	۴/۹	۰/۰۴	۶۹۳/۲	CPS
	۰/۳۹	۹۴/۱	۲/۱۷**	۱/۵۵	۱/۲	۰/۹۸	۰/۸۱	۰/۰۵	۴/۹	۰/۰۴	۲۰۴	CZ
b	۰/۳۴	۶۸/۳	۲/۶۶**	۱/۱۱	۰/۶۵	۰/۴۶	۰/۴	۰/۲۱	۴/۹	۰/۰۴	۲۰۴	CZ ۱۰۰٪
	۰/۲۸	۷۸/۱	۳/۲**	۴/۰۱	۳/۹۱	۳/۸	۳/۶۳	۳/۳	۴/۹	۰/۰۴	۱۸۳/۶	CZF
	۰/۱۹	۶۶/۱	۴/۱**	۲/۶۱	۲/۴۶	۲/۳۵	۲/۲۶	۲/۱	۴/۹	۰/۰۴	۱۸۳/۶	CZF ۱۰۰٪
d	-----	۴۴/۸	-----	۶/۶۸	۵/۹	۵/۵۶	۵/۱۶	۳/۸۶	۴/۹	۰/۰۴	-----	نمونه شاهد

** معنی داری در سطح اعتماد ۹۹ درصد.

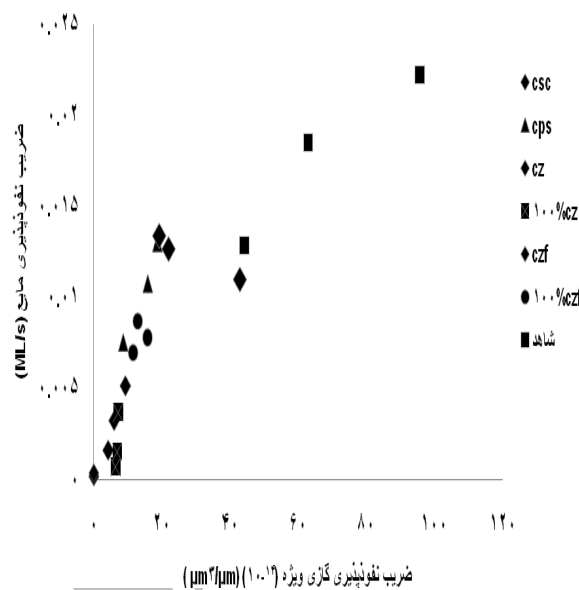
نفوذ آب و گاز از ساختمان چوب، همبستگی خوبی بین ضرایب نفوذپذیری اندازه‌گیری شده با گاز و آب در این بررسی وجود داشت.

بحث و نتیجه‌گیری

به طور کلی نتایج نشان داد که الگوی تغییرات ضریب نفوذپذیری گاز و مایع در همه تیمارها همانند بود و پوشش‌دهی چوب با هر یک از انواع نانوذرات و رنگ‌های پوششی باعث کاهش ضرایب نفوذپذیری گاز و مایع (رایلم) می‌شود. در میان انواع پوشش‌ها، چوب رنگ‌شده با سیلروکیلر مقاومت بیشتری به ضریب نفوذپذیری گاز و مایعی از خود نشان داد. پوشش‌دهی چوب با نانوذرات زایکوسیل و زایکوفیل در بهبود مقاومت چوب به نفوذپذیری گاز و مایعی موثر است و در این میان، نانوذرات زایکوسیل عملکرد بهتری دارند. با این وجود، نانوذرات زایکوفیل در مقایسه با دیگر پوشش‌ها، تاثیر کمتری در بهبود مقاومت چوب به نفوذپذیری گاز و مایعی به دنبال داشت. با توجه به همبستگی خوبی که بین ضریب نفوذپذیری گاز و ضریب نفوذپذیری مایع (آزمون رایلم) به دست آمده می‌توان از آزمون رایلم برای ارزیابی ضریب نفوذپذیری چوب استفاده کرد. پیشنهاد می‌شود در تحقیقات آینده، تاثیر تقویت رنگ پوششی رایج در صنایع مبلمان با نانوذرات زایکوسیل و نانو زایکوفیل در بهبود عملکرد این نوع پوشش‌ها در برابر نفوذ آب و هوا مورد ارزیابی قرار گیرد. همچنین، با توجه به موفق بودن آزمون رایلم در ارزیابی ضریب نفوذپذیری چوب در جهت طولی، پیشنهاد می‌شود که کارایی و عملکرد این آزمون در ارزیابی ضریب نفوذپذیری عرضی چوب نیز مورد ارزیابی قرار گیرد.

سپاسگزاری

این تحقیق با پشتیبانی مالی قطب علمی مدیریت کاربرد گونه‌های چوبی تدریش گروه علوم و صنایع چوب و کاغذ دانشکده منابع طبیعی دانشگاه تهران انجام شد که موجب نهایت سپاسگزاری است.



شکل ۳- ضریب همبستگی میان نفوذپذیری گازی و مایعی (آزمون رایلم)

همبستگی ضریب نفوذپذیری گاز و مایعی

از قانون دارسی به طور گسترده‌ای برای اندازه‌گیری ضریب نفوذپذیری مواد متخلخل استفاده می‌شود (Bao et al., 1999). با این وجود، کاربرد قانون دارسی با محدودیت‌هایی روبرو است، برای مثال جریان سیال باید وسیکوس و خطی باشد و ماده متخلخل نیز همگن باشد. یکی از شرایط استفاده از قانون دارسی برای اندازه‌گیری ضریب نفوذپذیری این است که واکنشی میان سیال و ماده متخلخل رخ ندهد. در مورد چوب، به هنگام عبور مایعات قطبی مانند آب، به دلیل برقراری اتصال‌های هیدروژنی، نفوذ آب با نسبت کمتری در مقایسه با نفوذ گاز از قانون دارسی پیروی می‌کند. همچنین، به دلیل رخداد جریان لغزشی^۱ (نادسن^۲) در لوله‌های مؤیین کوچکتر از اندازه میانگین مسیر آزاد مولکول‌ها، ضریب نفوذپذیری اندازه‌گیری شده با گاز بیشتر از ضریب نفوذپذیری اندازه‌گیری شده مایع برآورد می‌شود. با وجود محدودیت‌های یاد شده و تفاوت‌های موجود در سینتیک

۱- slip flow

۲- Knudsen

منابع

- ASTM, E 514. 1992 . “Standard Test Method for Water Penetration and Leakage through Masonry,” ASTM Standards on Masonry, American Society for Testing and Materials.
- Bao, F & J. Lu, 1999. On permeability of main wood species in China. Holzforschung 53: 350-354.
- Buslaev, G. S. & Voronkov, M. G. Zelenin ,A. K, 2008. Vapor and Water Permeabilities and Moisture Absorbability of Organosilicate Coatings. published in Fizika i Khimiya Stekla, Glass Physics and Chemistry, 34(4), 492–496.
- Brinker, CF. & Clark, DE, Ulrich, DR, 1990. Better ceramic through chemistry IV, Mater Res Symp Proc, 180.
- Celiker, G. 2005. Nanotechnology in Packaging Industry and Its Applications. Presented at the 4th , Packaging Congress, Turkey.
- EN 1504-2, April. 2004. “Products and Systems for the Protection and Repair of Concrete Structures—Definitions, Requirements, Quality Control and Evaluation of Conformity—Part 2: Surface Protection Systems for Concrete”.
- Eldwson, T. Bergstrom and Hamalainen, M. 2003. moisture dynamics in Norway spruce and scots pin during outdoor exposure in relation to different surface Hutmets and handling condition Holzforschuy . 57:219-227.
- Edwards, J. D. & Mason, R. B. 1934. INDE. XG.C HEM.A, nal. Ed., 6, 159.
- Faucheu, J. & Wood, KA. Sung, LP. Martin, JW. 2006. Relating Gloss Loss to Topographical Features of a PVDF Coating. J. Coatings Technol.Res. 3: 29-39.
- Gholamiyan, H. and Tarmian, A. 2009. Radial variation in longitudinal permeability of beech (*Fagus orientalis*) wood containing red heart wood. Journal of forest and wood products (in press).
- Gholamiyan, H. and Tarmian, A. and Doost Hosseini, K. and Azadfallah, M. 2009. The effect of nano particles and common furniture paints on water resistance behavior of poplar wood (P.nigra). Submitted journal agricultural and natural resources.
- Hicks, E. 1961. Shellac, Its Origin and Applications; Chemical Publishing: New York, 11.
- Kajiwara, M. & Kimura, T. 1988. ACS Symp. Sci. Technol, 572, 268. 23(12/13).
- Keshani, S. 2006. The effect comparition of polyester, acid catalyzed lacquers and nitrocellulose lacquers "fagus orientalis" wood and plywood furniture, MSc. Thesis, Faculty of Natural Resources, University of Tehran, 231.
- Klemperer, WG. Brinker, CJ. 1992. Better ceramic through chemistry V, Mater Res Symp Proc, 271.
- Kaygin, B. & Akgun, E. 2008. Comparison of Conventional Varnishes with Nanolacke UV Varnish With Respect to Hardness and Adhesion Durability. Int. J. Mol. Sci. 9: 476-485.
- Kaygin, B. & Akgun, E. 2009. A nano-technological product: An innovative varnish type for wooden surfaces. Scientific Research and Essay. 4 (1): 1-7.
- Monk, C. B. 1982. “Adaptations and Additions to ASTM Test Method E 514 (Water Permeance of Masonry) for Field Conditions,” Masonry: Materials, Properties and Performance, ASTM STP 778, J.G. Borchelt, Ed., American Society for Testing and Materials.
- Michael, S. & Lowry, D. 2008. Assessment of UV-permeability in nano-ZnO filled coatings via high throughput experimentation, J. Coat. Technol. Res., 5 (2) :233–239.

- Nelson, C. J. & Coggio, W. D. 1992. Polym. Prepr. (Am. Chem. Soc., Div. Polym. Chem.), 33(1), 319.
- Parhizkari, M. and Tarmian. A. 2009. Tension Wood Formation in *Populus nigra* and its Effects on Longitudinal Gas Permeability under Different Drying Conditions. submitted to wood and paper research.
- Robert, D, & Philip. E. 1991. Permeability of Shellac Coatings to Gases and Water Vapor. American chemical society. 39, 5.
- Roller, S. 1994. Effects of Pressure on Water Penetration in Brick Masonry, M.S. Thesis, Department of Civil and Architectural Engineering, University of Wyoming, Laramie, Wyo.
- Roller, S. 1994. A Comparison of ASTM E 514 and MAT Tube Water Penetration Testing Methods Including an Evaluation of Saver- Systems Water Repellents, Report submitted to SaverSystems, Richmond, Ind.
- Shaw, TM. & Gottshall. RJ. Chen. Y. 1992. Synthesis and processing of ceramics: scientific issues, Mater Res Symp Proc, Pittsburgh.
- Siau.J.F, 1984. Transport processes in wood. Springer, Berlin, Heidelberg, NewYork, 245pp.
- Taghiyari. H.R., Parsapajouh. D., Karimi. A.N., Pourtahmasi, K. 2008. Study on Gas Permeability of Juvenile wood and mature wood in *Populus deltoids* (69/55) and *Populus × euroamericana* (cv. I-214), Grown in Gilan Province, Iran; The Second National Congress on Poplar and Potential Use in Poplar Plantation, Vol. 2, P.P. 133- 140, 5th to 7th May, 2008.

Gas and Water Permeability of Poplar Wood Coated with Sealer and Nitrocellulose Lacquer, Polyester Lacquer and Nano-particles

H. Gholamiyan^{*1}, A. Tarmian² and M. Azadfallah²

¹ MSc. Student, Faculty of Natural Resources, University of Tehran, Karaj, I.R. Iran

² Assistant Professor, Faculty of Natural Resources, University of Tehran, Karaj, I.R. Iran

(Received: 31 December 2009, Accepted: 05 July 2010)

Abstract

In this research, the effect of coating with sealer, nitrocellulose and polyester lacquers, nanozycosil and nanozycofil particles on mass transfer properties of wood was investigated. Two types of transport processes in wood were studied: gas permeability and water permeability determined by Rilem test. The boards prepared from poplar sapwood were dried according to the schedule of T₆E₃. Then, cylindrical samples of 25 mm in diameter and 40 mm in length were longitudinally prepared. The lateral surfaces of the samples were coated using epoxy resin to confine fluid transfer along the longitudinally direction. Then, one of the end sections of the samples was coated by the coating materials. Some samples were dried in laboratory condition and the others in oven at temperature of 103±2°C. After equalizing of samples, their water and gas permeability coefficients were measured. A strong correlation was found between the water and gas permeability. The lowest gas and liquid permeability was related to the samples coated with sealer and nitrocellulose lacquer. Among nano particles, nanozycosil had better performance than nanozycofil to decrease the wood permeability.

Key words: Permeability, Polyester Lacquer, Sealer and Nitrocellulose Lacquer, Nano-Particles, Wood

*Corresponding author: Tel: +98 915 5235012 ,Fax: 98261 2249311 ,E-mail: hadi_gholamiyan@yahoo.com